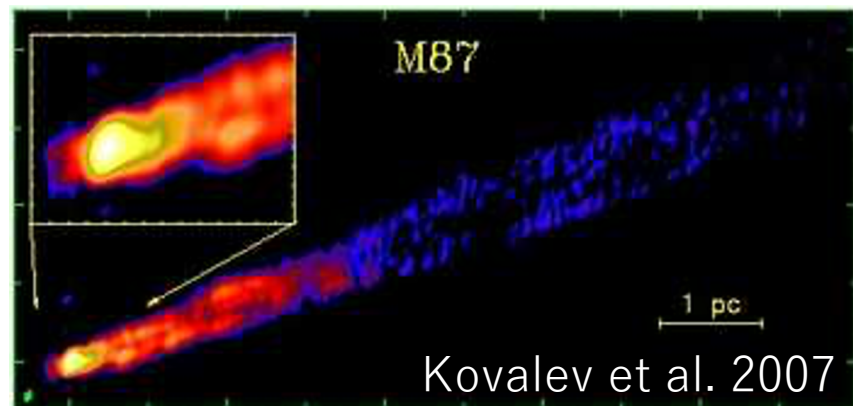
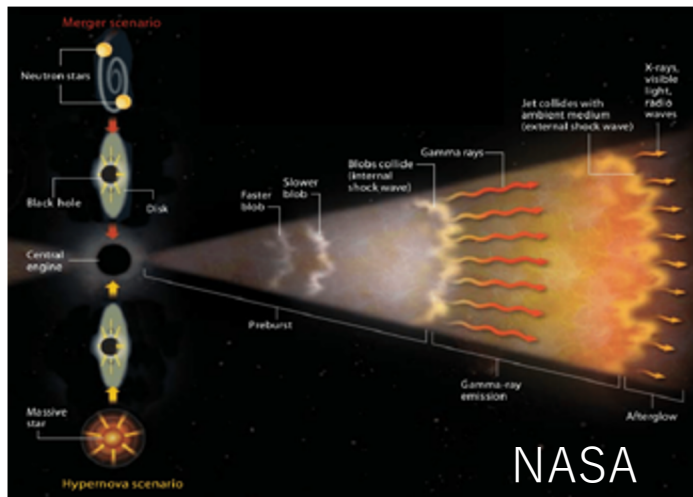


# 相対論的無衝突衝撃波での 磁場増幅機構

富田 沙羅（東北大学 学際研）  
大 平 豊（東京大学）  
當真賢二<sup>1</sup>, 富田賢吾<sup>1</sup>, 木村成生<sup>1</sup>(<sup>1</sup>東北大)

# 無衝突衝撃波近傍の磁場

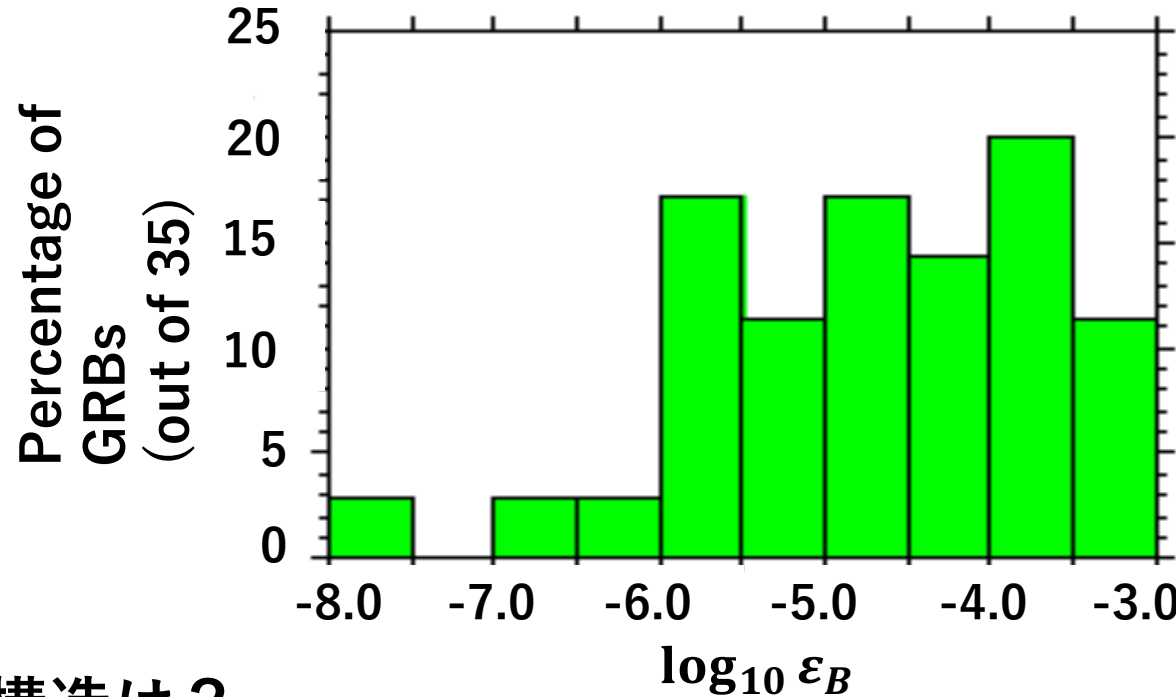
高エネルギー天体现象でできる無衝突衝撃波：  
宇宙線の生成機構、高エネルギー光子の放射領域  
→衝撃波近傍の磁場の情報が重要。 →未知!!



磁場の情報がわかれれば、  
宇宙線加速機構や天体の周辺環境が理解できる！

# 衝撃波近傍磁場についての問題点

- 星間磁場( $\sim \mu\text{G}$ )を衝撃波圧縮した時、 $\epsilon_B = \frac{B^2/8\pi}{\Gamma m n c^2} \sim 10^{-9}$



- 磁場構造は？
- 衝撃波上流の磁場の情報は未知。

磁場増幅機構の理解が必要！！

# 衝撃波での乱流ダイナモによる磁場増幅

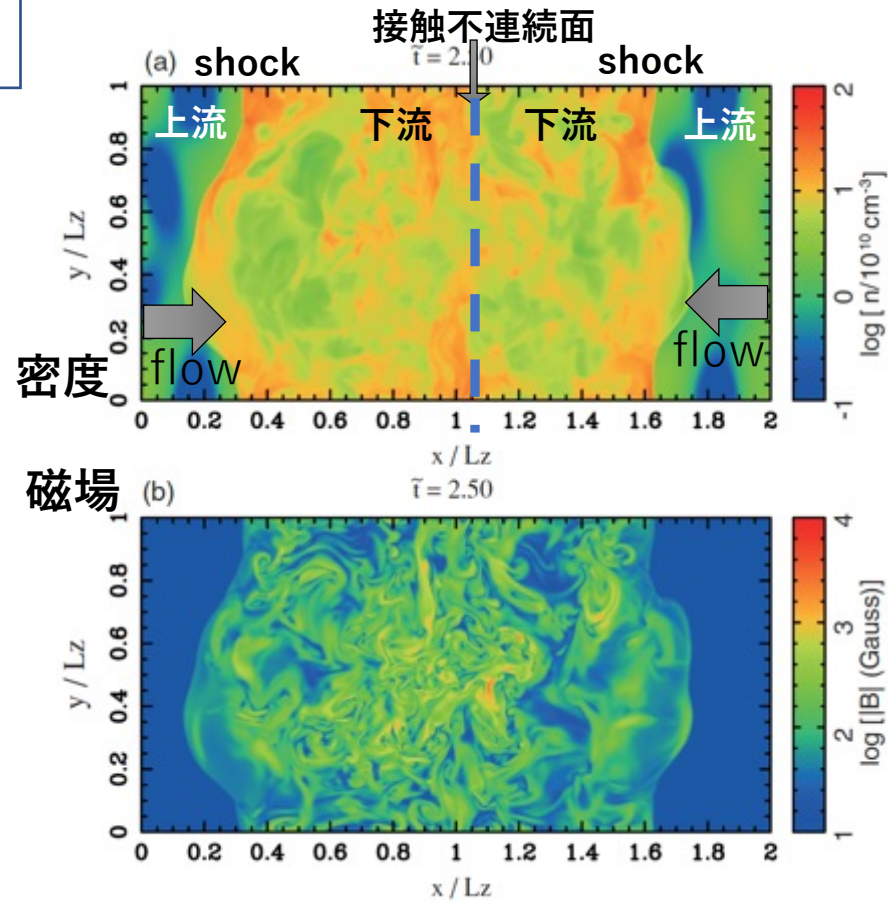
磁気流体(MHD)シミュレーション(Inoue et al. 2011)

衝撃波下流の  
乱流のエネルギー > 磁場のエネルギー

である限り、磁場を増幅できる。

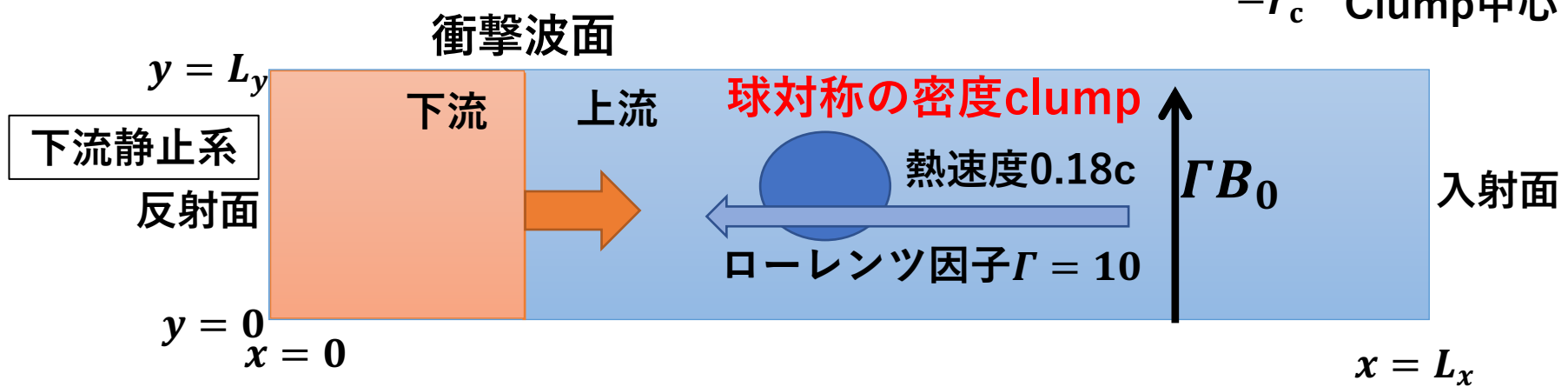
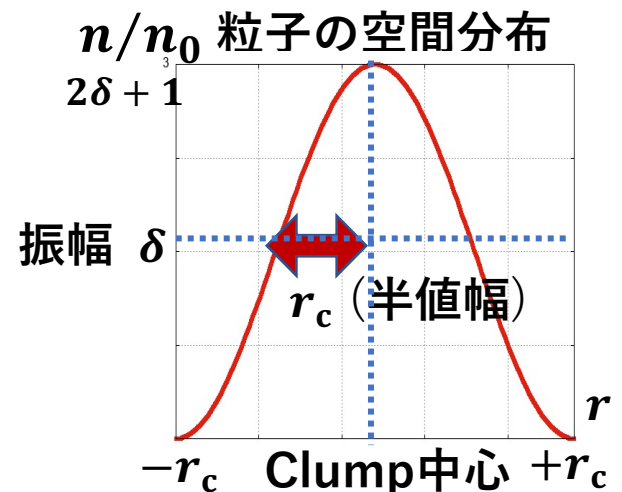
しかし、現実は無衝突衝撃波。

- 非熱的粒子の生成
  - 宇宙線による磁場増幅
  - 粒子拡散
- MHD近似は常に成り立つか？



# 衝撃波のシミュレーションセットアップ

- ・松本(洋)さん(千葉大)の2次元PICコード、Athena++のMHDコードを使用。
- ・ $e^\pm$  プラズマ (相対論的衝撃波下流では電子陽子プラズマに等しいと近似可能)
- ・計算機 : Cray XC50 (3000コア) @国立天文台
- ・計算領域 :  $L_x = 3120 c/\omega_{pe}$ ,  $L_y = 1200 c/\omega_{pe}$   
( $\Delta x = \Delta y = 0.1 c/\omega_{pe}$ )
- ・粒子数 : 80個/cell, 全粒子数~ $10^{12}$ 個



# 衝撃波のシミュレーションセットアップ

- 上流の磁化パラメター  $\sigma_e = B_0^2/4\pi n_0 m_e c^2$
- (密度clumpのサイズ $2r_c$ )/(ジャイロ半径 $r_{ge}$ )と振幅 $\delta$ の設定

	$\delta$	$\sigma_e$	$2r_c/r_{ge}$
case1	0.5	$10^{-3}$	9.5
case2	0.5	$10^{-5}$	0.9
case3	10	$10^{-3}$	9.5

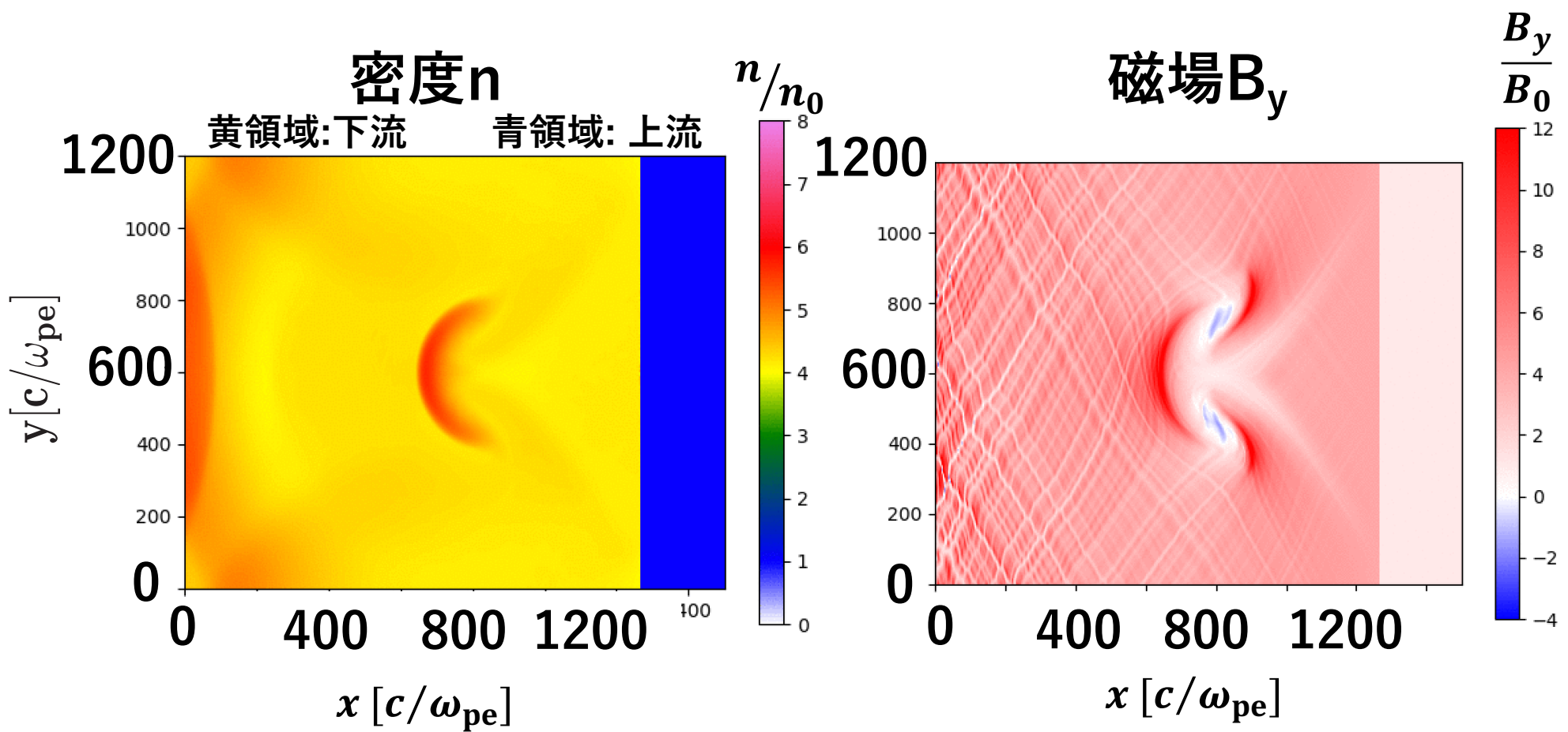
(GRB残光の場合)

乱流ダイナモによる磁場増幅で必要な”密度揺らぎのサイズとジャイロ半径の比”

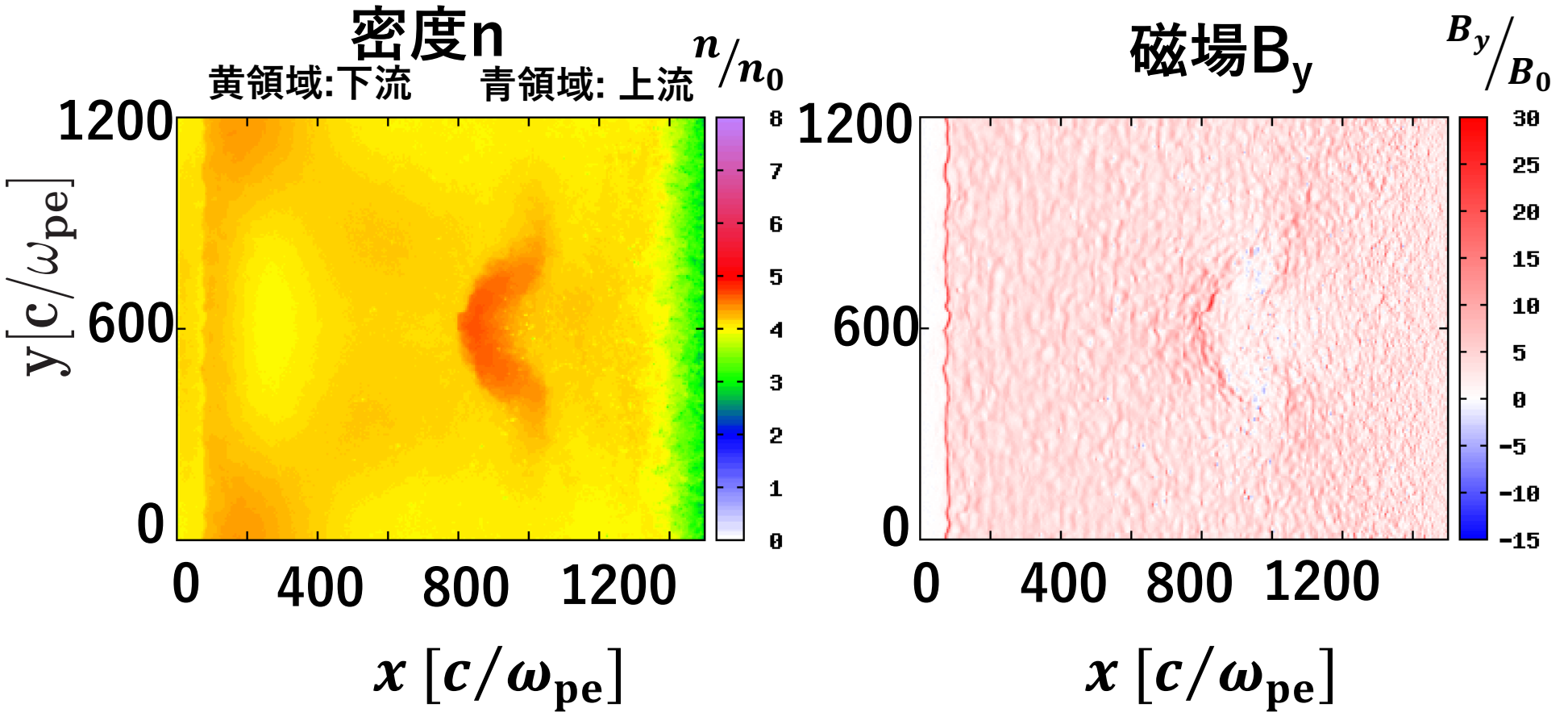
- “Eddy Turn Over Time  $\leq$  衝撃波の減速時間” :  $\frac{\lambda}{c} \leq t_{dec}$
- 上流磁場が  $3 \mu G$

より、 $\frac{\lambda}{r_{gi}} \approx 10-100$  (下流静止形).

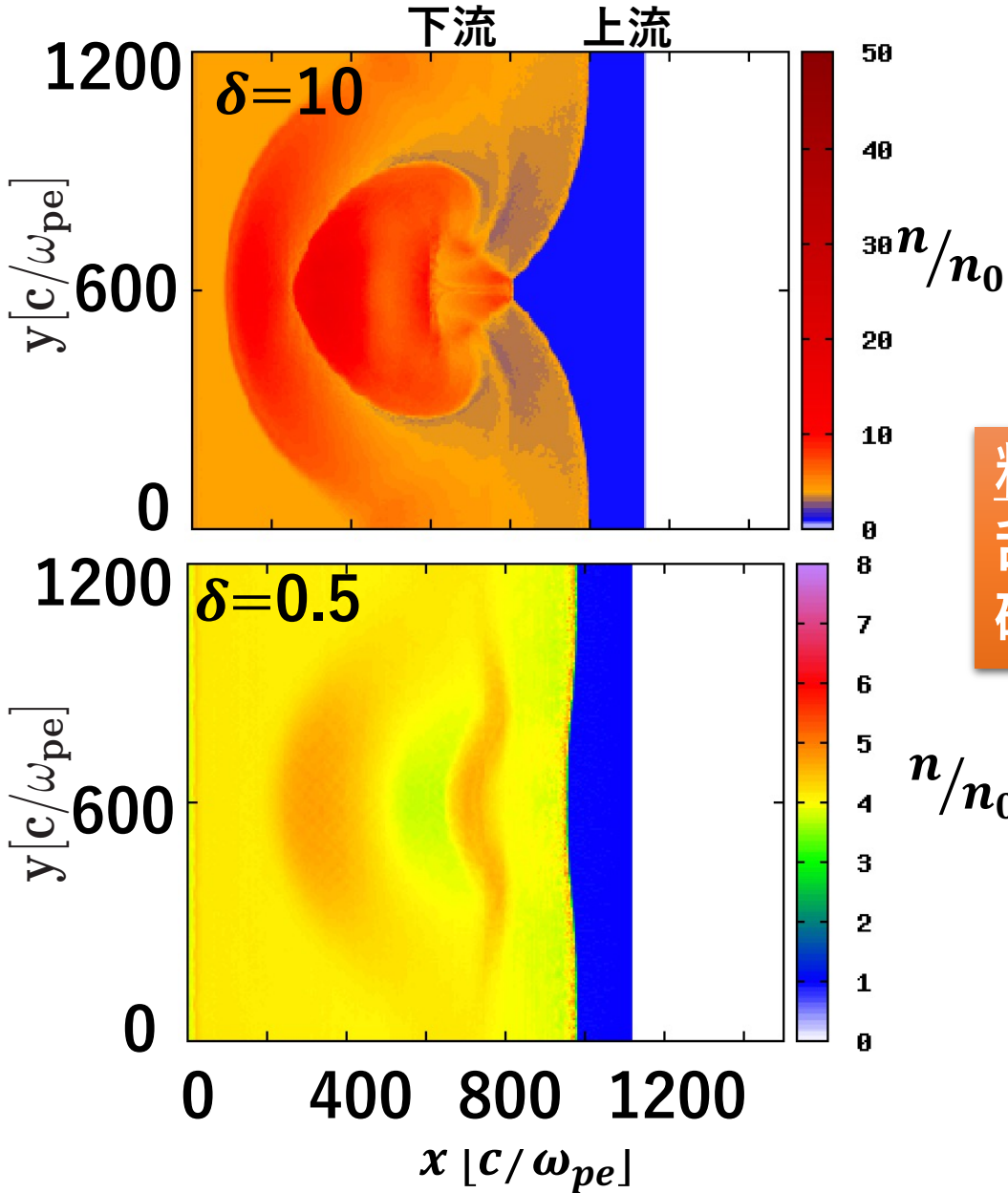
結果: MHD ( $\sigma_e = 10^{-5}$ , 振幅  $\delta = 0.5$ )



結果: PIC ( $\sigma_e = 10^{-5}$ , 振幅  $\delta = 0.5$ )

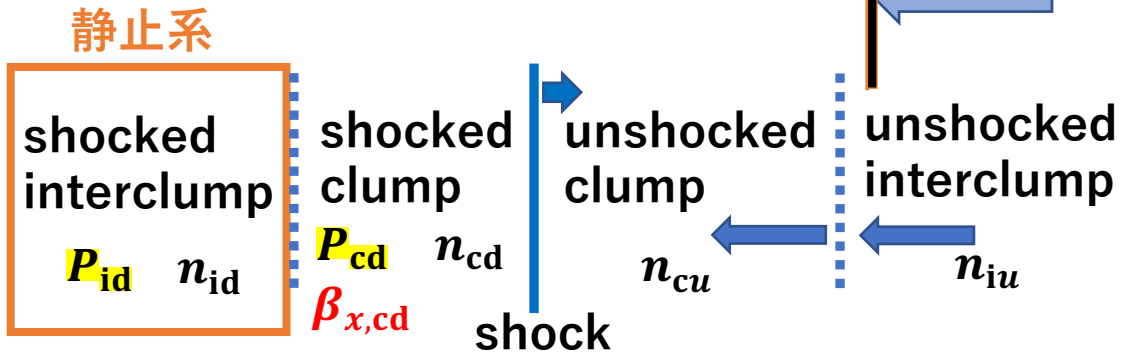
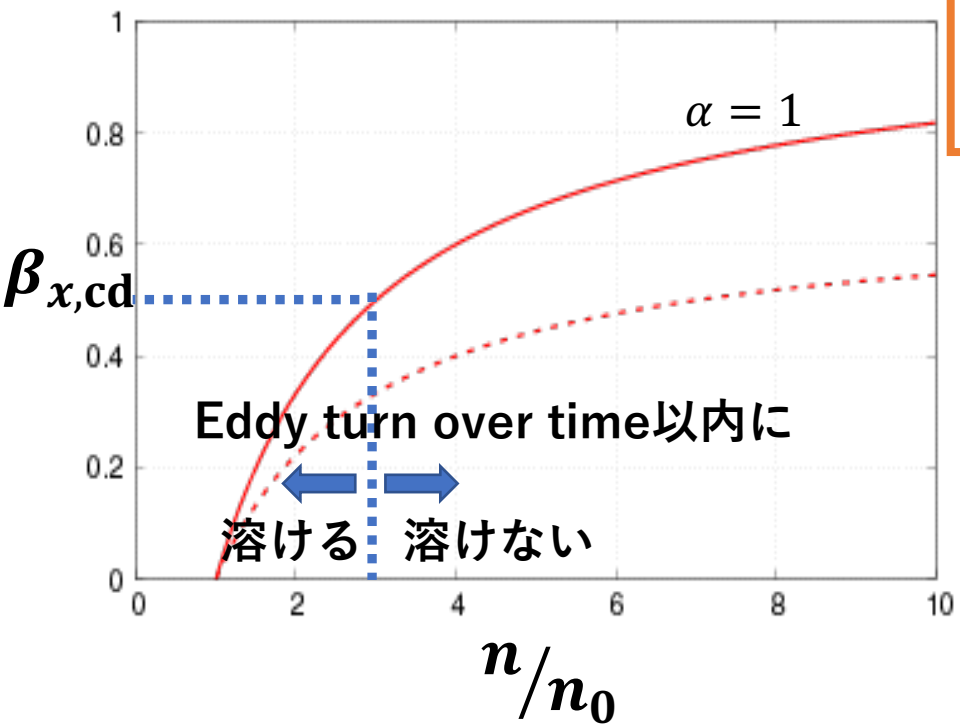
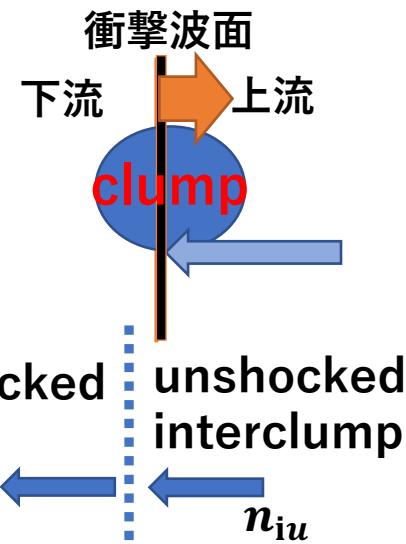


# 結果: 振幅依存性( $\sigma_e=10^{-3}$ ) PIC 密度の空間分布



粒子拡散が抑えられ、  
乱流ダイナモが駆動したため、  
磁場增幅が見られた！

# Clumpが維持されるために 必要な密度揺らぎの振幅



$P_{id} = P_{cd}$  より、

$$n/n_0 \approx \frac{1 + \beta_{x,cd}}{1 - \beta_{x,cd}}$$

“Shocked clumpの速度” >  
”磁力線方向へ拡散する粒子の平均速度”より、  
 $\beta_{x,cd} > \langle \beta_{th,\parallel} \rangle \approx 0.5c$

$$\Rightarrow n/n_0 \gtrsim 3$$

$\beta_{x,cd}$ : 衝撃波通過後の  
clump 領域の速度

# まとめ

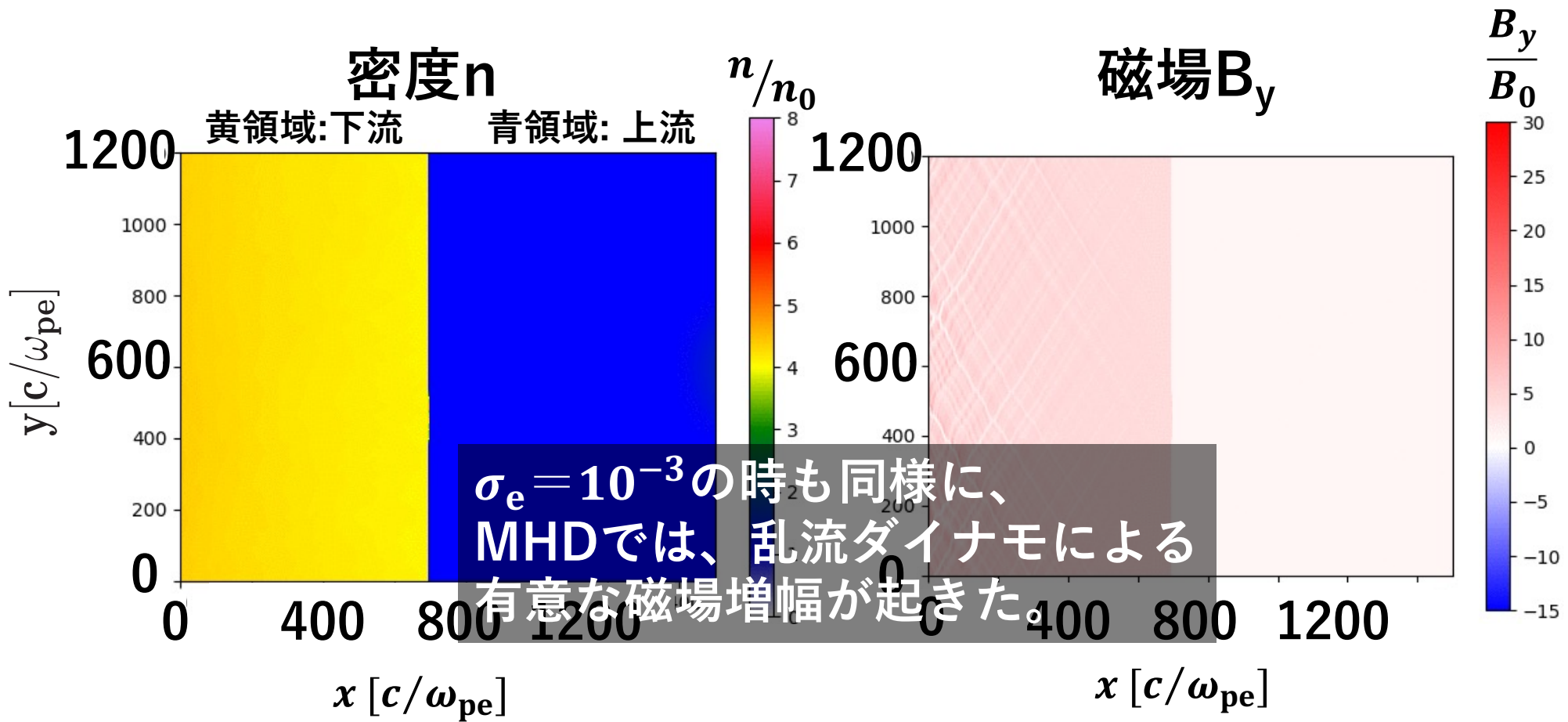
非一様な媒質中を伝播する無衝突衝撃波のPICシミュレーション：

✓clump サイズがジャイロ半径よりも大きい場合でも、  
 $n/n_0 \leq 1$ 程度の密度揺らぎでは、  
効率的な乱流ダイナモによる磁場增幅は起きない。

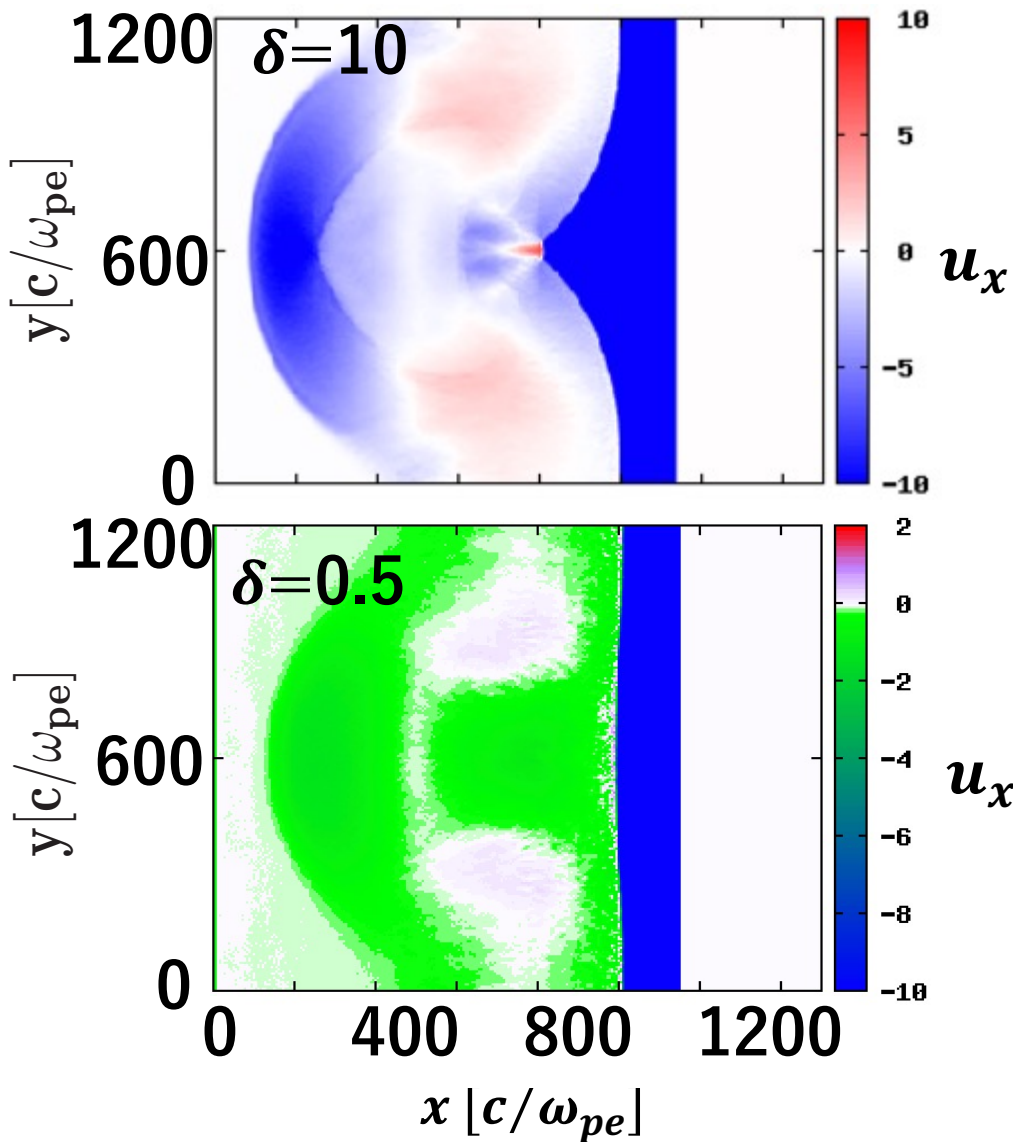
✓GRB親星の周辺(星間空間/星周空間)には、  
もっと高密度な密度揺らぎが必要?。

現在、広いパラメター領域や電子イオン系についても調べ、  
乱流ダイナモによって増幅される磁場や、  
粒子のエネルギースペクトルへの影響について解析中。

結果: MHD ( $\sigma_e = 10^{-5}$ , 振幅  $\delta = 0.5$ )



# 結果:振幅依存性 速度( $u_x$ )空間分布



Clump周辺の速度 $>0.3$

衝撃波がclumpを通過後、  
 $y = 600$ での衝撃波面近傍で、  
上流に向かう  $u_x \sim +10$  の  
plasma jetが見られる！  
→Jet in jet ?!  
Blazerの短時間変動の起源かも？

# 乱流ダイナモによる磁場增幅で必要な密度揺らぎのサイズとジャイロ半径の比

乱流ダイナモが働く条件 “Eddy Turn Over Time  $\leq$  衝撃波の減速時間” から、上流の密度揺らぎのサイズが決まる。

\*パラメター値はガンマ線バーストの場合  
相対論的場合 :  $t_{\text{dec}} \approx 10^3 \text{ sec } E_{\text{iso},53} v_{\text{WR},8.3} \dot{M}_{\text{WR},-5}^{-1} \Gamma_{\text{sh},2}^{-3}, (n_1 \propto r^{-2}),$

$$\approx 10^4 \text{ sec } \left( \frac{E_{\text{iso},53}}{n_{\text{ISM},0}} \right)^{\frac{1}{3}} \Gamma_{\text{sh},2}^{-\frac{5}{3}}, \quad (n_1 \approx \text{const.}).$$

$$t_{\text{eddy}} \approx \frac{\lambda}{c} \leq t_{\text{dec}} \text{ より、 } \lambda \lesssim 10^{14} \left( \frac{E_{\text{iso},53}}{n_{\text{ISM},0}} \right)^{1/3} \Gamma_{\text{sh},2}^{-5/3} \text{ cm} \approx 10^7 \frac{c}{\omega_{\text{pi}}}. \quad (\text{In 下流静止系})$$

\*Wolf-Riet windの分光観測や理論と矛盾しない。

上流磁場が  $3 \mu \text{G}$  ならば、下流熱的陽子のジャイロ半径 :  $r_{\text{gi}} \approx 10^4 \left( \frac{\sigma}{10^{-9}} \right)^{-1/2} c / \omega_{\text{pi}}$ .

したがって、Clumpサイズ  $\lambda = 10^5 - 10^6 \frac{c}{\omega_{\text{pi}}}$  とすると、

**密度揺らぎサイズとジャイロ半径サイズの比は、 $\frac{\lambda}{r_{\text{gi}}} \approx 10-100$ .** (In 下流静止系)